

03

Спектрально-угловые характеристики излучения заряженной частицы в поле Редмонда

© Д.И. Кудрявцев¹, Г.Ф. Копытов², А.Е. Суханов¹

¹ Кубанский государственный университет,
350040 Краснодар, Россия

² Московский государственный университет технологий и управления (Первый казачий университет),
109004 Москва, Россия

e-mail: dmitriy-kudrtyavtsev@mail.ru, g137@mail.ru, sa.world1111@yandex.ru

Поступила в редакцию 05.06.2022 г.

В окончательной редакции 26.07.2022 г.

Принята к публикации 03.08.2022 г.

На основе решения уравнения движения заряда в электромагнитном поле построена классическая теория излучения релятивистской заряженной частицы, линейно ускоренной высокоинтенсивным лазерным импульсом в присутствии статической компоненты магнитного поля. Решения, полученные Г.Ф. Копытовым и А.В. Погореловым, использованы для исследования спектрально-угловых характеристик излучения заряженной частицы в комбинации поля плоской монохроматической электромагнитной волны и постоянного магнитного поля, так называемым полем Редмонда. По вычисленным формулам для интенсивности излучения частиц в поле Редмонда построены графики зависимости от величины магнитного поля, фазового и фазово-углового распределения. Получен фурье-образ напряженности электрического поля излучения и спектральной плотности излучения частицы в случае линейной поляризации волны.

Ключевые слова: поле Редмонда, спектрально-угловые характеристики, заряженная частица, теорема Лоусона–Вудворда, сверхмощное лазерное излучение.

DOI: 10.21883/OS.2022.11.53773.3774-22

Введение

В работе [1] были получены спектрально-угловые характеристики излучения заряда, ускоряемого высокоинтенсивным электромагнитным излучением. Теория ускорения заряженных частиц в плазме с помощью излучения лазера была выдвинута еще в 1979 г. [2] и до сих пор совершенствуется [3]. В настоящее время рекордные интенсивности, достигаемые в фокусе лазерного луча, составляют $\sim 10^{23}$ W/cm² [4]. Достижение таких мощных электрических полей стало возможным с появлением и продвижением лазерных установок, которые позволяют получить импульсы оптического диапазона с длительностью в несколько фемтосекунд (10^{-15} s). Однако, как известно из теоремы Лоусона–Вудворда, частица в неограниченном вакуумном пространстве без наличия статической компоненты электрического или магнитного поля не может забрать энергию у лазерного импульса какой бы большой величины он ни был [5]. Вопрос об осцилляции частицы в комбинации поля плоской электромагнитной волны (ЭМВ) и постоянного магнитного поля впервые был исследован в работе [6] и исследуется до сих пор с точки зрения классической и квантовой теорий [7–16]. Результаты этих работ представляет особый интерес, так как поставленная задача в них соответствует реальным техническим системам.

В работе [17] была разработана методика определения спектрально-угловых и поляризационных характеристик

для пучка релятивистских заряженных частиц в ондуляторе.

В настоящей работе было предпринято исследование вопроса о спектрально-угловых характеристиках излучения заряженной частицы в поле Редмонда (комбинация поля плоской ЭМВ и постоянного магнитного поля) на основании результатов, полученных в работе [14], в которой на основе классического уравнения движения заряда в электромагнитном поле рассчитывались энергетические характеристики заряженной частицы, разгоняемой лазерным излучением в постоянном магнитном поле без учета радиационного трения. Из работы [18] известно, что потери энергии электрона на жесткое излучение достигаются при энергии в 1 GeV, что соответствует интенсивности лазерного поля $\sim 10^{22}$ W/cm². В настоящей работе расчеты всех характеристик были проведены при интенсивности 10^{19} W/cm². Однако при длительном взаимодействии волны с частицей даже не большой параметр радиационного трения может внести существенный вклад в динамику частицы, поэтому предполагается, что монохроматической электромагнитной волной в работе является ультракороткий лазерный импульс. Интерес представляют такие характеристики, как интенсивность излучения заряда и ее угловое и фазово-угловое распределения, а также фурье-образ напряженности электрического поля излучения частицы и оценка модуля ее спектральной плотности для линейной и круговой поляризации электромагнитной волны.

Постановка проблемы

Классическое уравнение движения частицы с зарядом q и массой m имеет вид

$$\frac{d\mathbf{p}}{dt} = q\mathbf{E} + \frac{q}{c} [\mathbf{v} \times \mathbf{H}_\Sigma], \quad (1)$$

где $\mathbf{H}_\Sigma = \mathbf{H} + \mathbf{H}_0$; $\mathbf{H}_0 = \mathbf{k}H_0$; \mathbf{H} — вектор напряженности магнитного поля электромагнитной волны, \mathbf{H}_0 — вектор напряженности внешнего магнитного поля.

Дополним уравнение (1) начальными условиями для скорости и координат заряженной частицы:

$$\mathbf{v}(0) = \mathbf{v}_0, \quad \mathbf{r}(0) = \mathbf{r}_0.$$

Релятивистский фактор γ связан с интенсивностью электромагнитного поля I следующим соотношением: $\gamma = \sqrt{1 + I/I_{rel}}$, он также равен $\gamma = mc(1 - v_{z0})/\sqrt{1 - v_0^2/c^2}$, где релятивистская интенсивность I_{rel} (W/cm²) задается следующим образом:

$$I_{rel} = \frac{m^2 c^3 \omega^2}{8\pi q^2} = \frac{1.37 \cdot 10^{18}}{\lambda^2},$$

где λ — длина волны, c — скорость света в вакууме.

Выберем направление электромагнитной волны вдоль оси z , в таком случае компоненты векторов электрического и магнитного полей определяются системой

$$\begin{cases} E_x = H_y = b_x \cos \Phi, \\ E_y = -H_x = f b_y \sin \Phi, \\ E_z = H_z = 0, \end{cases} \quad (2)$$

где оси x и y совпадают с направлением полуосей волнового поляризаационного эллипса b_x и b_y , а $b_x \geq b_y \geq 0$; $\Phi = \omega\xi + \varphi_0$; $\xi = t - z/c$; ω — несущая частота; $f = \pm 1$ — параметр поляризации, с верхним знаком для E_y правой поляризации и нижним знаком для левой поляризации.

Влияние постоянного магнитного поля на интенсивность излучения заряженной частицы в поле плоской монохроматической электромагнитной волны

Применение векторного произведения к уравнению (1) с вектором \mathbf{H} дает вектор Умова–Пойнтинга в следующем виде:

$$\mathbf{S} = \frac{c}{4\pi} [\mathbf{E} \times \mathbf{H}] = \frac{c}{4\pi q} [\mathbf{F} \times \mathbf{H}] - \frac{1}{4\pi} [[\mathbf{v} \times \mathbf{H}_\Sigma] \times \mathbf{H}], \quad (3)$$

где $\mathbf{F} = d\mathbf{p}/dt$.

Расписав векторные произведения в уравнении (3), можно получить компоненты вектора

Умова–Пойнтинга:

$$S_x(t) = \frac{1}{4\pi} H_y \left[(v_x H_y - v_y H_x) - \frac{c}{q} F_z \right], \quad (4)$$

$$S_y(t) = -\frac{1}{4\pi} H_x \left[(v_x H_y - v_y H_x) - \frac{c}{q} F_z \right], \quad (5)$$

$$S_z(t) = \frac{1}{4\pi} \left[v_x (H_x^2 + H_y^2) + \frac{c}{q} (E_x F_x + E_y F_y) \right]. \quad (6)$$

Сила Лоренца, действующая на частицу в поле Редмонда в компонентной форме, имеет следующий вид:

$$F_x = \frac{1}{1+g} \left\{ q \left[b_x + \frac{\eta(b_x \eta \mp b_y)}{1-\eta^2} \right] \cos \Phi + \frac{R\omega_c^2}{c} \gamma \cos \Phi_c \right\}, \quad (7)$$

$$F_y = \frac{1}{1+g} \left\{ q \left[\pm b_y - \frac{\eta(b_x \mp \eta b_y)}{1-\eta^2} \right] \sin \Phi + \frac{R\omega_c^2}{c} \gamma \sin \Phi_c \right\}, \quad (8)$$

$$F_z = \frac{\gamma\omega}{1+g} \left[\frac{q^2(b_x^2 - b_y^2)}{2\gamma^2\omega^2(1-\eta^2)^2} \sin 2\Phi + \frac{q(b_x \mp b_y)}{2\gamma\omega} \frac{R\omega_c}{c} \frac{1+\eta}{1-\eta} \sin(\Phi + \Phi_c) - \frac{q(b_x \pm b_y)}{2\gamma\omega} \frac{R\omega_c}{c} \frac{1+\eta}{1-\eta} \sin(\Phi - \Phi_c) \right], \quad (9)$$

где $\Phi_c = \omega_c \xi + \psi_0$.

Как можно заметить из формулы (9), в поле Редмонда в начальный момент времени $t = 0$ продольная составляющая импульса $dp_{||}/dt \neq 0$, что означает, что в данном случае теорема Лоусона–Вудворда не выполняется.

Воспользуемся формулой продольной составляющей импульса частицы с поправкой на релятивистский фактор γ из [14]:

$$g = h - \frac{q^2}{4\gamma^2\omega^2} \frac{b_x^2 - b_y^2}{1-\eta^2} \cos 2\Phi - \frac{R\omega_c}{c} \frac{q}{2\gamma\omega} \times \frac{(b_x \pm b_y)(1-\eta) \cos(\Phi - \Phi_c) - (b_x \mp b_y)(1+\eta) \cos(\Phi + \Phi_c)}{1-\eta^2},$$

где h — постоянная часть продольной составляющей скорости частицы, определяемая начальными условиями и параметрами ускоряющего поля, соответственно равна следующему:

$$h = \frac{1}{2} \left[\frac{m^2 c^2}{\gamma^2} - 1 + \frac{R^2 \omega_c^2}{c^2} + \frac{1}{2} \frac{q^2}{\gamma^2 \omega^2} \times \frac{(b_x - f\eta b_y)^2 + (\eta b_x - f b_y)^2}{(1-\eta^2)^2} \right],$$

где $\omega_c = qH_0/\gamma$ — циклотронная частота, $\eta = \omega_c/\omega$, R — постоянная, определяемая начальными условиями [14].

Подставляя выражения (7)–(9) и значения скорости из [14] в формулы (4)–(6), получаем компоненты вектора Умова–Пойнтинга в следующем виде:

$$S_x(t) = \frac{1}{8\pi} \frac{cb_x}{1+g} \frac{R\omega_c}{c} \left[(b_x \pm b_y) \left(1 - \frac{1-\eta}{1+\eta}\right) \times \sin(\Phi - \Phi_c) - (b_x \mp b_y) \left(1 - \frac{1+\eta}{1-\eta}\right) \sin(\Phi + \Phi_c) \right] \cos \Phi,$$

$$S_y(t) = \pm \frac{1}{8\pi} \frac{cb_y}{1+g} \frac{R\omega_c}{c} \left[(b_x \pm b_y) \left(1 - \frac{1-\eta}{1+\eta}\right) \times \sin(\Phi - \Phi_c) - (b_x \mp b_y) \left(1 - \frac{1+\eta}{1-\eta}\right) \sin(\Phi + \Phi_c) \right] \sin \Phi,$$

$$S_z(t) = \frac{1}{8\pi} \frac{c}{1+g} \left\langle \left\{ (b_x^2 - b_y^2) \left[(1+g) + \frac{\eta^2}{1-\eta^2} \right] \times \cos 2\Phi + (b_x^2 + b_y^2) \left[(1+g) + \frac{1}{1-\eta^2} \left(\eta^2 \mp \frac{2\eta b_x b_y}{b_x^2 b_y^2} \right) \right] \right\} + \frac{R\omega_c}{c} \left(\frac{q}{\gamma\omega} \right)^{-1} \eta [(b_x \pm b_y) \cos(\Phi - \Phi_c) + (b_x \mp b_y) \cos(\Phi + \Phi_c)] \right\rangle.$$

Для случая циркулярно поляризованной электромагнитной волны, $b_x = b_y = b/\sqrt{2}$, получаем модуль вектора в виде

$$|\mathbf{S}(t)| = \sqrt{S_x^2(t) + S_y^2(t) + S_z^2(t)}, \quad (10)$$

где $I_{\text{cir}} = cb^2/8\pi$, $\mu = q^2b^2/\gamma^2\omega^2 = I_{\text{lin}}/2I_{\text{rel}} = I_{\text{cir}}/I_{\text{rel}}$.

При наличии постоянного магнитного поля колебание частиц происходит с двумя периодами $\tilde{T} = 2\pi(1+h)/\omega$ и $\tilde{T}_c = 2\pi/\omega_c$. Так как движение частицы является суперпозицией двух типов периодического движения с частотами ω и ω_c , усреднение интенсивности будет осуществляться по формуле [14]

$$\bar{f}(t) = \frac{1}{2\pi} \int_{\Phi(t)}^{\Phi(t)+2\pi} \frac{1}{\tilde{T}} \int_{\Phi_c(t)}^{\Phi_c(t)+2\pi} f(t') \frac{1+g}{\omega} d\Phi' d\Phi'_c.$$

Оценим теперь интенсивность излучения, усредненную за период колебаний частиц в поле электромагнитной волны с круговой поляризацией в присутствии

постоянного магнитного поля:

$$I_{\text{rad}}^{\text{cir}} = \frac{I_{\text{cir}}}{1 + \frac{\mu}{4} \left[\left(1 - \frac{f\eta}{1+f\eta}\right)^2 + \left(\frac{1}{1+f\eta}\right)^2 \right]} \times \sqrt{\left\{ 1 + \frac{\mu}{4} \left[\left(1 - \frac{f\eta}{1+f\eta}\right)^2 + \left(\frac{1}{1+f\eta}\right)^2 \right] - \frac{f\eta}{1+f\eta} \right\}^2 + \frac{\mu}{2} \left(1 - f \frac{\eta}{1+f\eta}\right)^2 \left[\left(1 - \frac{1-f\eta}{1+f\eta}\right)^2 + \frac{\eta^2}{\mu} \right]}. \quad (11)$$

Формулы (10), (11) при выключении магнитного поля становятся эквивалентными формулам, полученным в [1].

Для случая линейно поляризованной электромагнитной волны ($b_x = b$, $b_y = 0$) интенсивность волны равна

$$|\mathbf{S}(t)| = \frac{1}{2} \frac{I_{\text{lin}}}{1+g} \sqrt{\frac{1}{2} \frac{R^2\omega_c^2}{c^2} \left[\left(1 - \frac{1-\eta}{1+\eta}\right) \sin(\Phi - \Phi_c) - \left(1 - \frac{1-\eta}{1+\eta}\right) \sin(\Phi - \Phi_c) \right]^2 \times (1 + \cos 2\Phi) + \left\{ \left[(1+g) + \frac{\eta^2}{1-\eta^2} \right] (1 + \cos 2\Phi) + 2 \frac{R\omega_c}{c} \left(\frac{qb}{\gamma\omega} \right)^{-1} \eta \cos \Phi \cos \Phi_c \right\}^2}, \quad (12)$$

где $I_{\text{lin}} = cb^2/4\pi$.

Оценим теперь интенсивность излучения, усредненную за период колебаний частиц в поле электромагнитной волны с линейной поляризацией в присутствии постоянного магнитного поля, при условии, что частица в начальный момент времени покоилась:

$$I_{\text{rad}}^{\text{linear}} = \frac{1}{2} \frac{I_{\text{lin}}}{1+h} \sqrt{\frac{1}{4} \frac{R^2\omega_c^2}{c^2} \left[\left(1 - \frac{1-\eta}{1+\eta}\right)^2 + \left(1 - \frac{1-\eta}{1+\eta}\right)^2 + \frac{3\mu(1+\eta^2)}{(1-\eta^2)^2} + \frac{4\eta^2}{\mu} \right] + \frac{7\mu^2}{128} \frac{1}{(1-\eta^2)^2} + \frac{3}{2} \left[(1+h)^2 + \frac{\eta^4}{(1-\eta^2)^2} \right] + \frac{1}{2} \frac{\eta^2}{1-\eta^2} \times \left[6(1+h) - \frac{\mu}{1-\eta^2} \right]}, \quad (13)$$

где значения $R^2\omega_c^2/c^2$ и h соответственно равны

$$\frac{R^2\omega_c^2}{c^2} = \mu \left[\frac{\sin^2 \Phi_0}{1-\eta^2} + \frac{\eta^2}{(1-\eta^2)^2} \right]$$

и

$$h = \frac{\mu}{4} \left\{ \frac{1 + \eta^2}{(1 - \eta^2)^2} + 2 \left[\frac{\sin^2 \Phi_0}{1 - \eta^2} + \frac{\eta^2}{(1 - \eta^2)^2} \right] \right\},$$

где $\Phi_0 = \omega \xi_0 + \varphi_0$, $\xi_0 = -z/c$.

Таким образом, минимальное значение интенсивности излучения соответствует фазам $\Phi_0 = 0$ и $\Phi_0 = \pi$ и определяется формулой

$$I_{\min}^{\text{linear}} = \frac{I_{\text{lin}}}{2 + \frac{\mu}{2} \frac{1+3\eta^2}{(1-\eta^2)^2}} \sqrt{\frac{\mu}{4} \frac{\eta^2}{(1-\eta^2)^2} \left[\left(1 - \frac{1-\eta}{1+\eta}\right)^2 + \left(1 - \frac{1+\eta}{1-\eta}\right)^2 + \frac{4\eta^2}{\mu} \right] + \frac{7\mu^2}{128} \times \frac{1}{(1-\eta^2)^2} + \frac{3\mu^2}{4} \frac{\eta^2(1+\eta^2)}{(1-\eta^2)^4} + \frac{3}{2} \left\{ \left[1 + \frac{\mu}{4} \frac{1+3\eta^2}{(1-\eta^2)^2} \right]^2 + \frac{\eta^4}{(1-\eta^2)^2} \right\} + \frac{1}{2} \frac{\eta^2}{1-\eta^2} \times \left\{ 6 \left[1 + \frac{\mu}{4} \frac{1+3\eta^2}{(1-\eta^2)^2} \right] - \frac{\mu}{1-\eta^2} \right\}.$$

Максимальное значение интенсивности излучения соответствует фазам $\Phi_0 = \pi/2$ и $\Phi_0 = 3\pi/2$ и определяется по формуле

$$I_{\min}^{\text{linear}} = \frac{I_{\text{lin}}}{2 + \frac{\mu}{2} \frac{3+\eta^2}{(1-\eta^2)^2}}$$

$$\times \sqrt{\frac{\mu}{4} \frac{1}{(1-\eta^2)^2} \left[\left(1 - \frac{1-\eta}{1+\eta}\right)^2 + \left(1 - \frac{1+\eta}{1-\eta}\right)^2 + \frac{4\eta^2}{\mu} \right] + \frac{7\mu^2}{128} \frac{1}{(1-\eta^2)^2} + \frac{3\mu^2}{4} \frac{(1+\eta^2)}{(1-\eta^2)^4} + \frac{3}{2} \times \left\{ \left[1 + \frac{\mu}{4} \frac{3+\eta^2}{(1-\eta^2)^2} \right]^2 + \frac{\eta^4}{(1-\eta^2)^2} \right\} + \frac{1}{2} \frac{\eta^2}{1-\eta^2} \times \left\{ 6 \left[1 + \frac{\mu}{4} \frac{3+\eta^2}{(1-\eta^2)^2} \right] - \frac{\mu}{1-\eta^2} \right\}.$$

Среднюю интенсивность излучения заряженной частицы в поле Редмонда найдем по формуле

$$\bar{f}(t) = \sup_{t \rightarrow \infty} \lim_{t \rightarrow \infty} \frac{1}{t} \int_0^t f(t) dt.$$

Таким образом, усредненная по начальной фазе Φ_0 интенсивность излучения частиц поле Редмонда имеет вид

$$I_{\text{rad}}^{\text{linear}} = \frac{I_{\text{lin}}}{2}$$

$$\sqrt{\frac{2\mu(1-\eta^2)^2[\mu(1-10\eta^2+\eta^4)+4(1-\eta^4)(1-\eta^2)]}{\left\{ \frac{\sqrt{\mu(3+\eta^2)+4(1-\eta^2)^2} \times}{\times \sqrt{\mu[4-3(1-\eta^2)]+4(1-\eta^2)^2}} \right\}^3} \times \left[\left(1 - \frac{1-\eta}{1+\eta}\right)^2 + \left(1 - \frac{1+\eta}{1-\eta}\right)^2 + \frac{4\eta^2}{\mu} + \frac{3\mu(1+\eta^2)}{(1-\eta^2)^2} \right] + \frac{7\mu^2(1-\eta^2)[\mu(1+\eta^2)+2(1-\eta^2)^2]}{4 \left\{ \frac{\sqrt{\mu(3+\eta^2)+4(1-\eta^2)^2} \times}{\times \sqrt{\mu[4-3(1-\eta^2)]+4(1-\eta^2)^2}} \right\}^3} + \frac{3}{2} \left\langle 1 + \frac{32\eta^4[\mu(1-\eta^4)(1-\eta^2)+2(1-\eta^2)^4]}{\left\{ \frac{\sqrt{\mu(3+\eta^2)+4(1-\eta^2)^2} \times}{\times \sqrt{\mu[4-3(1-\eta^2)]+4(1-\eta^2)^2}} \right\}^3} \right\rangle + 12\eta^2(1-\eta^2) \times \left\langle \frac{[\mu(3+\eta^2)+4(1-\eta^2)^2] \times}{\left\{ \frac{\sqrt{\mu(3+\eta^2)+4(1-\eta^2)^2} \times}{\times \sqrt{\mu[4-3(1-\eta^2)]+4(1-\eta^2)^2}} \right\}^3} \right\rangle - 16\eta^2(1-\eta^2) \times \left\langle \frac{\mu[\mu(1+\eta^4)+2(1-\eta^2)^3]}{\left\{ \frac{\sqrt{\mu(3+\eta^2)+4(1-\eta^2)^2} \times}{\times \sqrt{\mu[4-3(1-\eta^2)]+4(1-\eta^2)^2}} \right\}^3} \right\rangle}.$$

(14)

Используя формулы (11) и (14), можно изобразить изменение интенсивности излучения частицы в поле Редмонда от величины магнитного поля (рис. 1).

Из рисунка видно, что до отметки $\eta = 2.5$ постоянное магнитное поле ненамного увеличивает интенсивность излучения частицы, если электромагнитная волна поляризована по кругу, когда для линейной поляризации волны интенсивность падает.

Дифференцируя выражение (11) относительно Φ_0 , получаем фазовое распределение интенсивности излучения:

$$\frac{dI_{\text{rad}}^{\text{linear}}}{d\Phi_0} = \frac{I_{\text{lin}}}{2} \times \frac{\left\langle 1 + \frac{\mu}{4} \left\{ \frac{1+\eta^2}{(1-\eta^2)^2} + 2 \left[\frac{\sin^2 \Phi_0}{1-\eta^2} + \frac{\eta^2}{(1-\eta^2)^2} \right] \right\} \right\rangle \kappa - \frac{\mu}{2} \frac{\sin 2\Phi_0}{1-\eta^2} \theta}{\left\langle 1 + \frac{\mu}{4} \left\{ \frac{1+\eta^2}{(1-\eta^2)^2} + 2 \left[\frac{\sin^2 \Phi_0}{1-\eta^2} + \frac{\eta^2}{(1-\eta^2)^2} \right] \right\} \right\rangle^2},$$

(15)

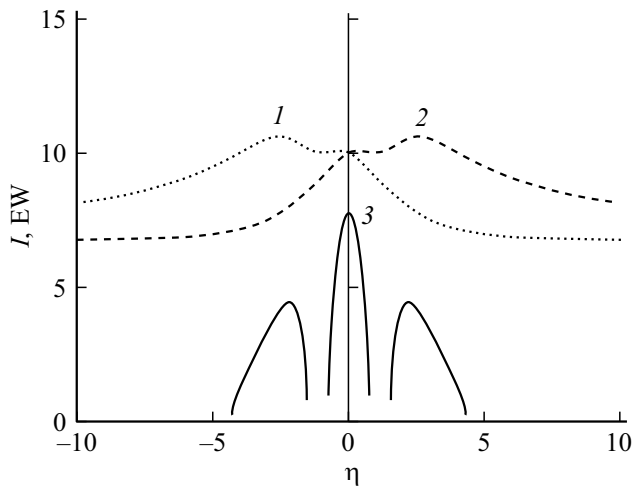


Рис. 1. Зависимость интенсивности излучения частицы от величины магнитного поля (1 — круговая правая, 2 — круговая левая, 3 — линейная).

где θ и κ соответственно равны

$$\theta = \sqrt{\frac{\mu}{4} \left[\frac{\sin^2 \Phi_0}{1-\eta^2} + \frac{\eta^2}{(1-\eta^2)^2} \right] \left[\left(1 - \frac{1-\eta}{1+\eta}\right)^2 + \left(1 - \frac{1+\eta}{1-\eta}\right)^2 + \frac{3\mu(1+\eta^2)}{(1-\eta^2)^2} + \frac{4\eta^2}{\mu} \right] + \frac{7\mu^2}{128} \frac{1}{(1-\eta^2)^2} + \frac{3}{2} \left\langle 1 + \frac{\mu}{4} \left\{ \frac{1+\eta^2}{(1-\eta^2)^2} + 2 \left[\frac{\sin^2 \Phi_0}{1-\eta^2} + \frac{\eta^2}{(1-\eta^2)^2} \right] \right\} \right\rangle^2 + \frac{3\eta^4}{2(1-\eta^2)^2} + \frac{3\eta^2}{1-\eta^2} \left\langle 1 + \frac{\mu}{4} \left\{ \frac{1+\eta^2}{(1-\eta^2)^2} + 2 \left[\frac{\sin^2 \Phi_0}{1-\eta^2} + \frac{\eta^2}{(1-\eta^2)^2} \right] \right\} \right\rangle - \frac{\mu\eta^2}{2(1-\eta^2)^2}}$$

$$\kappa = \frac{d\theta}{d\Phi_0} = \frac{1}{2\theta} \left\langle \frac{\mu}{4} \frac{\sin 2\Phi_0}{1-\eta^2} \left[\left(1 - \frac{1-\eta}{1+\eta}\right)^2 + \left(1 - \frac{1+\eta}{1-\eta}\right)^2 + \frac{3\mu(1+\eta^2)}{(1-\eta^2)^2} + \frac{4\eta^2}{\mu} \right] + \frac{3\mu}{2} \left\langle 1 + \frac{\mu}{4} \left\{ \frac{1+\eta^2}{(1-\eta^2)^2} + 2 \left[\frac{\sin^2 \Phi_0}{1-\eta^2} + \frac{\eta^2}{(1-\eta^2)^2} \right] \right\} \right\rangle \frac{\sin 2\Phi_0}{1-\eta^2} + \frac{3\mu}{2} \frac{\eta^2}{(1-\eta^2)^2} \sin 2\Phi_0 \right\rangle.$$

Используя формулу (15), можно изобразить фазовое распределение интенсивности излучения заря-

женной частицы в поле Редмонда с интенсивностью $I_{lin} = 10^{19} \text{ W/cm}^2$ на фазовой плоскости (вдоль оси абсцисс — $\sin \Phi_0$ и вдоль оси ординат — $dI_{rad}^{linear}/d\Phi_0$) для различных значений магнитного поля (рис. 2).

Из рис. 2 видно, что при увеличении магнитного поля максимум интенсивности излучения заряженной частицы перемещается к $\Phi_0 = \pi/2, -\pi/2, \dots, \pm\pi/2 + 2\pi n$.

Мгновенное угловое распределение интенсивности излучения заряженных частиц будет иметь вид

$$\frac{dI_{rad}^{linear}}{d\Omega} = \frac{I_{lin}}{4\pi} \times \frac{\left\langle 1 + \frac{\mu}{4} \left\{ \frac{1+\eta^2}{(1-\eta^2)^2} + 2 \left[\frac{\sin^2 \Phi_0}{1-\eta^2} + \frac{\eta^2}{(1-\eta^2)^2} \right] \right\} \right\rangle \kappa - \frac{\mu}{2} \frac{\sin 2\Phi_0 \theta}{1-\eta^2}}{\left\langle 1 + \frac{\mu}{4} \left\{ \frac{1+\eta^2}{(1-\eta^2)^2} + 2 \left[\frac{\sin^2 \Phi_0}{1-\eta^2} + \frac{\eta^2}{(1-\eta^2)^2} \right] \right\} \right\rangle^2 \cos \Phi_0} \quad (16)$$

Дифференцируя распределение (16) относительно Φ_0 , получаем фазово-угловое распределение интенсивности излучения в зависимости от начальной фазы электромагнитной волны:

$$\frac{d^2 I_{rad}^{linear}}{d\Phi_0 d\Omega} = \frac{I_{lin}}{4\pi} \times \left\langle \frac{\Gamma}{1 + \frac{\mu}{4} \left\{ \frac{1+\eta^2}{(1-\eta^2)^2} + 2 \left[\frac{\sin^2 \Phi_0}{1-\eta^2} + \frac{\eta^2}{(1-\eta^2)^2} \right] \right\}} \right\rangle - \frac{\mu \left\langle 2\kappa \sin \Phi_0 + \theta \cos \theta \Phi_0 - \frac{\frac{\mu\theta}{1-\eta^2} \sin 2\Phi_0 \sin \Phi_0}{1 + \frac{\mu}{4} \left\{ \frac{1+\eta^2}{(1-\eta^2)^2} + 2 \left[\frac{\sin^2 \Phi_0}{1-\eta^2} + \frac{\eta^2}{(1-\eta^2)^2} \right] \right\}} \right\rangle}{(1-\eta^2) \left\langle 1 + \frac{\mu}{4} \left\{ \frac{1+\eta^2}{(1-\eta^2)^2} + 2 \left[\frac{\sin^2 \Phi_0}{1-\eta^2} + \frac{\eta^2}{(1-\eta^2)^2} \right] \right\} \right\rangle^2}, \quad (17)$$

где

$$\Gamma = \frac{\cos \Phi_0}{2\theta} \left\langle \frac{\mu}{2(1-\eta^2)} \left[1 - \left(1 - \frac{1-\eta}{1+\eta}\right)^2 + \left(1 - \frac{1+\eta}{1-\eta}\right)^2 + \frac{3\mu(1+\eta^2)}{(1-\eta^2)^2} + \frac{4\eta^2}{\mu} \right] + \frac{3\mu}{1-\eta^2} \right\rangle \times \left\langle 1 + \frac{\mu}{4} \left\{ \frac{1+\eta^2}{(1-\eta^2)^2} + 2 \left[3 \frac{\sin^2 \Phi_0}{1-\eta^2} + \frac{\eta^2}{(1-\eta^2)^2} \right] \right\} + \frac{\eta^2}{1-\eta^2} \right\rangle - 2 \left(\frac{\gamma}{\cos \Phi_0} \right)^2.$$

Используя формулу (17), можно изобразить фазово-угловое распределение интенсивности излучения заряженной частицы для значения $I_{lin} = 10^{19} \text{ W/cm}^2$ на фазовой плоскости (вдоль оси абсциссы — $\sin \Phi_0$ и вдоль оси ординат — $d^2 I_{rad}^{linear}/d\Phi_0 d\Omega$) для различных значений магнитного поля (рис. 3).

На рис. 3 можно также заметить, что максимум интенсивности перемещается к значению

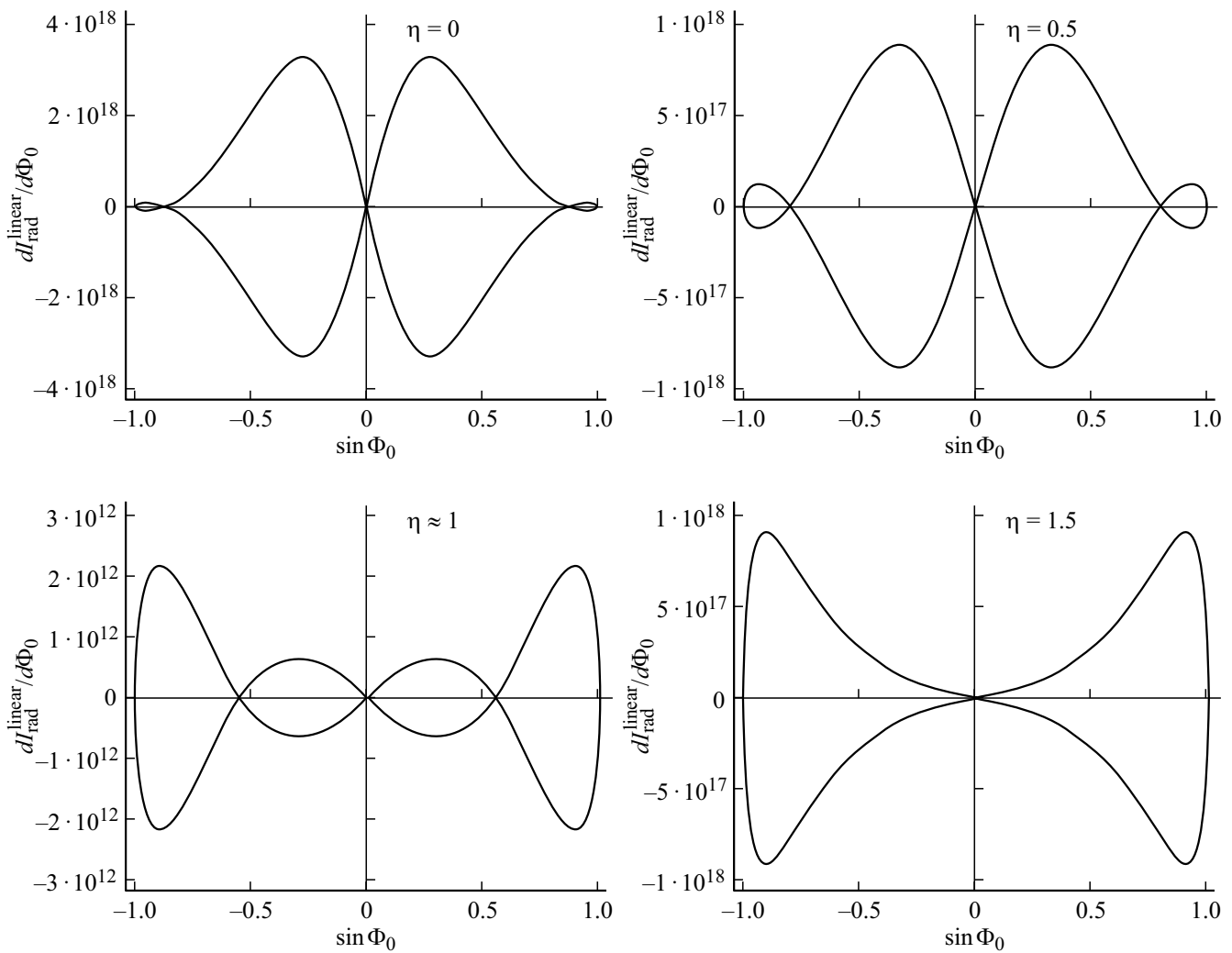


Рис. 2. Фазовое распределение интенсивности излучения частиц при различных магнитных полях.

$\Phi_0 = \pi/2, -\pi/2, \dots, \pm\pi/2 + 2\pi n$, а также в условиях, близких к резонансу, фазово-угловое распределение представляет эллипс.

Фурье-образ напряженности электрического поля в поле Редмонда

Спектр излучения заряженной частицы в поле плоской монохроматической электромагнитной волны можно представить как сумму бесконечного числа монохроматических волн:

$$\mathbf{E}(\mathbf{r}, t) = \sum_{\omega=-\infty}^{\omega=\infty} \mathbf{E}_\omega(\mathbf{r}) \exp(-i\Phi). \tag{18}$$

Фурье-образ может быть представлен в виде периодической функции:

$$\mathbf{E}_\omega(\mathbf{r}) = \frac{1}{T} \int_t^{\bar{t}} \mathbf{E}(\mathbf{r}, t) \exp(-i\Phi) dt. \tag{19}$$

Из уравнения (1) выразим $\mathbf{E}(\mathbf{r}, t)$ и подставим в функцию (19), после чего перейдем от интегрирования по времени к интегрированию по фазам Φ и Φ_c , что даст для вещественной и мнимой частей $\mathbf{E}_\omega(\mathbf{r})$ следующие выражения:

$$\begin{aligned} \text{Re}(\mathbf{E}_\omega(\mathbf{r})) &= \frac{1}{2\pi} \int_{\Phi_c(t)}^{\Phi_c(\bar{t})} \frac{1}{T} \int_{\Phi(t)}^{\Phi(\bar{t})} \left(\frac{1}{q} \frac{d\mathbf{p}}{dt} - \frac{1}{c} [\mathbf{v} \times \mathbf{H}_\Sigma] \right) \\ &\quad \times \cos \Phi \frac{1+g}{\omega} d\Phi d\Phi_c, \\ \text{Im}(\mathbf{E}_\omega(\mathbf{r})) &= \frac{1}{2\pi} \int_{\Phi_c(t)}^{\Phi_c(\bar{t})} \frac{1}{T} \int_{\Phi(t)}^{\Phi(\bar{t})} \left(\frac{1}{q} \frac{d\mathbf{p}}{dt} - \frac{1}{c} [\mathbf{v} \times \mathbf{H}_\Sigma] \right) \\ &\quad \times \sin \Phi \frac{1+g}{\omega} d\Phi d\Phi_c. \end{aligned} \tag{20}$$

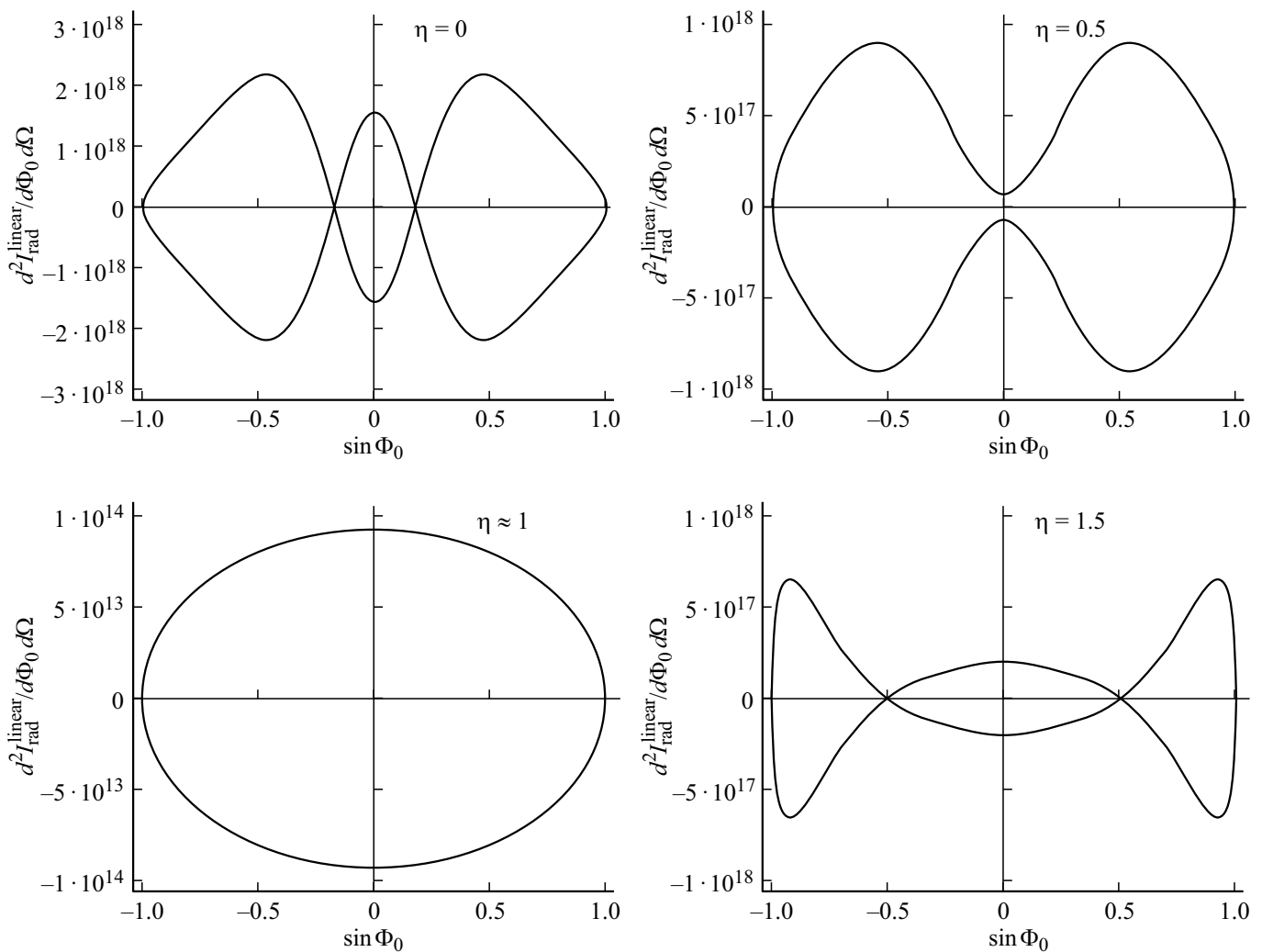


Рис. 3. Фазово-угловое распределение интенсивности излучения частиц при различных магнитных полях.

Компоненты преобразования фурье-функции (20) будут выглядеть так:

$$\text{Re}(\mathbf{E}_{\omega,x}) = \frac{b_x}{2(1+h)} \left(1+h - \frac{q^2(b_x^2 - b_y^2)}{8\gamma^2\omega^2(1-\eta^2)} \right),$$

$$\text{Im}(\mathbf{E}_{\omega,x}) = 0,$$

$$\text{Re}(\mathbf{E}_{\omega,y}) = 0,$$

$$\text{Im}(\mathbf{E}_{\omega,y}) = \pm \frac{b_y}{2(1+h)} \left(1+h + \frac{q^2(b_x^2 - b_y^2)}{8\gamma^2\omega^2(1-\eta^2)} \right),$$

$$\text{Re}(\mathbf{E}_{\omega,z}) = \text{Im}(\mathbf{E}_{\omega,z}) = 0. \quad (21)$$

Рассмотрим случаи круговой и линейной поляризации.

Круговая поляризация. В [1] было выяснено, что в случае круговой поляризации сохраняется только информация об амплитуде, в то время как информация о фазе полностью теряется, поэтому в этом случае

поляризации волны внешнее магнитное поле не внесет никакого вклада.

Линейная поляризация. В этом случае из (21) для фурье-образа получаем

$$\text{Re}(\mathbf{E}_{\omega}) = \frac{b \left\langle 1 + \frac{\mu}{8} \left\{ \frac{1+3\eta^2}{(1-\eta^2)^2} + 4 \left[\frac{\sin^2 \Phi_0}{1-\eta^2} + \frac{\eta^2}{(1-\eta^2)^2} \right] \right\} \right\rangle}{2 + \frac{\mu}{2} \left\{ \frac{1+\eta^2}{(1-\eta^2)^2} + 2 \left[\frac{\sin^2 \Phi_0}{1-\eta^2} + \frac{\eta^2}{(1-\eta^2)^2} \right] \right\}}. \quad (22)$$

Подставляя выражение (22) в формулу (18), получаем спектр излучения частицы в начальный момент времени:

$$\text{Re}((\mathbf{E}_{\omega}(\mathbf{r}, t_0)) = b \times \sum_{\omega=-\infty}^{\omega=\infty} \frac{1 + \frac{\mu}{8} \left\{ \frac{1+3\eta^2}{(1-\eta^2)^2} + 4 \left[\frac{\sin^2 \Phi_0}{1-\eta^2} + \frac{\eta^2}{(1-\eta^2)^2} \right] \right\}}{2 + \frac{\mu}{2} \left\{ \frac{1+\eta^2}{(1-\eta^2)^2} + 2 \left[\frac{\sin^2 \Phi_0}{1-\eta^2} + \frac{\eta^2}{(1-\eta^2)^2} \right] \right\}} \cos \Phi_0. \quad (23)$$

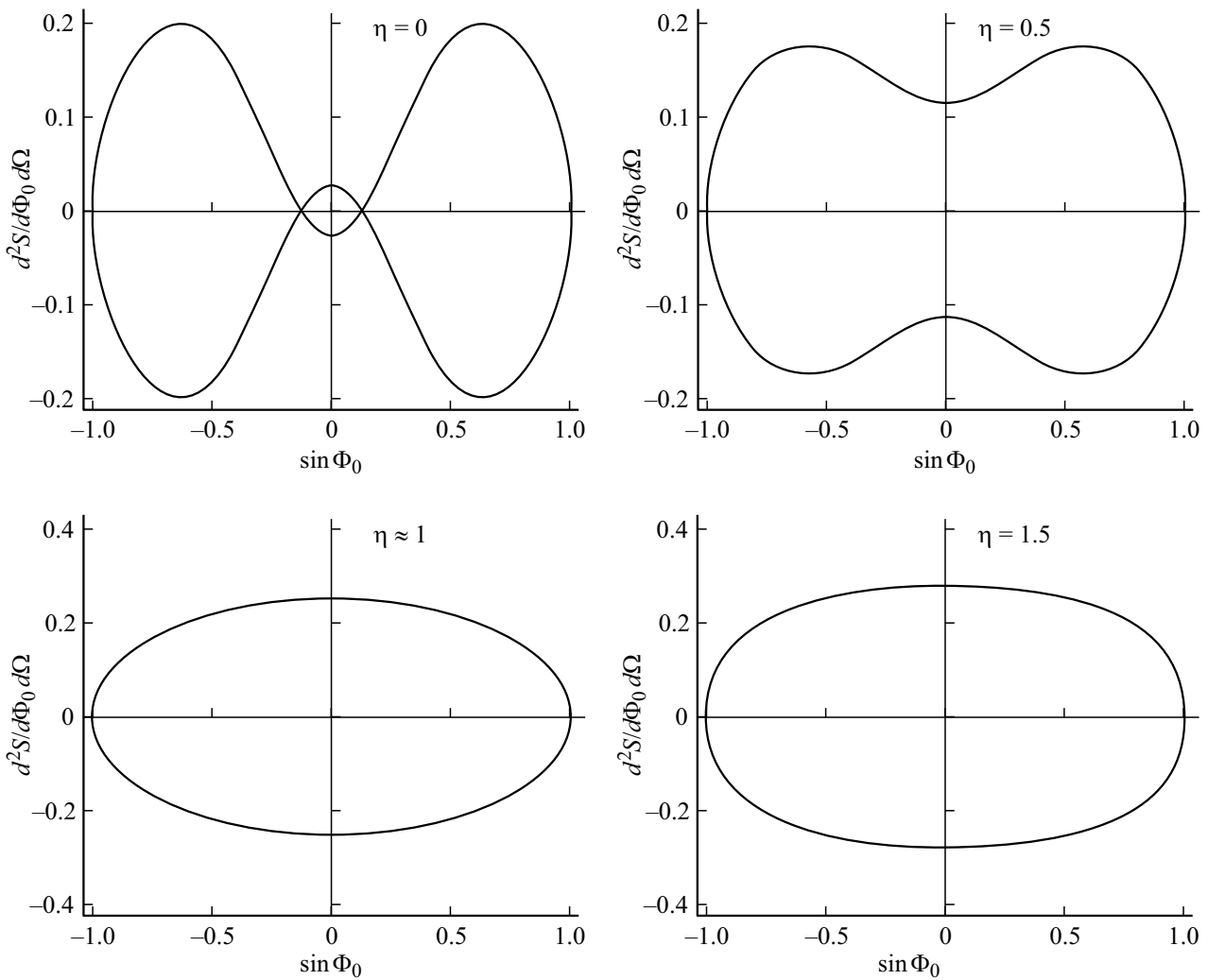


Рис. 4. Фазово-угловое распределение спектральной плотности при различных магнитных полях.

Спектр излучения имеет следующее фазовое распределение:

$$\text{Re} \left(\left| \frac{d\mathbf{E}(\mathbf{r}, t_0)}{d\Phi_0} \right| \right) = b \times \left| \sum_{\omega=-\infty}^{\omega=\infty} \left(1 - \frac{2A}{B} \right) \frac{\mu \sin \Phi_0 \cos^2 \Phi_0}{B(1-\eta^2)} - \frac{A}{B} \sin \Phi_0 \right|, \quad (24)$$

где

$$A = 1 + \frac{\mu}{8} \left\{ \frac{1 + 3\eta^2}{(1-\eta^2)^2} + 4 \left[\frac{\sin^2 \Phi_0}{1-\eta^2} + \frac{\eta^2}{(1-\eta^2)^2} \right] \right\},$$

$$B = 2 + \frac{\mu}{2} \left\{ \frac{1 + \eta^2}{(1-\eta^2)^2} + 2 \left[\frac{\sin^2 \Phi_0}{1-\eta^2} + \frac{\eta^2}{(1-\eta^2)^2} \right] \right\}.$$

Спектр излучения заряда в единичном сплошном угле определяется формулой

$$\text{Re} \left(\left| \frac{d\mathbf{E}(\mathbf{r}, t_0)}{d\Omega} \right| \right) = \frac{b}{2\pi} \left| \sum_{\omega=-\infty}^{\omega=\infty} \left(1 - \frac{2A}{B} \right) \times \frac{\mu \sin 2\Phi_0}{B(1-\eta^2)} - \frac{A}{B} \text{tg} \Phi_0 \right|. \quad (25)$$

Фазово-угловое распределение этого спектра излучения имеет вид

$$\text{Re} \left(\left| \frac{d^2\mathbf{E}(\mathbf{r}, t_0)}{d\Phi_0 d\Omega} \right| \right) = \frac{b}{2\pi} \left| \sum_{\omega=-\infty}^{\omega=\infty} \frac{1 - \frac{2A}{B}}{B} \frac{\mu}{1-\eta^2} (1 - 3 \sin^2 \Phi_0) - \frac{A}{B} \sec^2 \Phi_0 \right|. \quad (26)$$

Представим функцию, характеризующую спектральную плотность излучения:

$$\operatorname{Re}(S(\omega)) = \operatorname{Re}(|\mathbf{E}(\mathbf{r}, t_0)|^2) = b^2 \left| \sum_{\omega=-\infty}^{\omega=\infty} \frac{A^2}{B^2} \cos^2(\omega\xi_0) \right|. \quad (27)$$

Фазовое распределение заданной плотности спектрального излучения выражается формулой

$$\frac{dS(\omega)}{d\Phi_0} = b^2 \left| \sum_{\omega=-\infty}^{\omega=\infty} \left\{ \left[\frac{1}{A} - 2 \frac{1}{B} \right] \frac{\mu}{1-\eta^2} \cos^2 \Phi_0 - 1 \right\} \times \frac{A^2}{B^2} \sin 2\Phi_0 \right|. \quad (28)$$

Спектральная плотность излучения на единицу твердого угла определяется выражением

$$\frac{dS(\omega)}{d\Omega} = \frac{b^2}{\pi} \left| \sum_{\omega=-\infty}^{\omega=\infty} \left\{ \left[\frac{1}{A} - 2 \frac{1}{B} \right] \frac{\mu}{1-\eta^2} \cos^2 \Phi_0 - 1 \right\} \times \frac{A^2}{B^2} \sin \Phi_0 \right|. \quad (29)$$

Дифференцируя выражение (29) относительно Φ_0 , получаем фазово-угловое распределение:

$$\begin{aligned} \frac{d^2S(\omega)}{d\Phi_0 d\Omega} &= \frac{b^2}{\pi} \\ &\left[\left(\frac{1}{A} - 2 \frac{1}{B} \right) \frac{\mu}{1-\eta^2} \cos^2 \Phi_0 - 1 \right] \times \\ &\times \left\{ \sum_{\omega=-\infty}^{\omega=\infty} \left[1 + \left(\frac{1}{A} - 2 \frac{1}{B} \right) \frac{\mu}{1-\eta^2} \sin^2 \Phi_0 \right] - \right. \\ &\left. - \frac{2\mu}{1-\eta^2} \left[1 + \left(\frac{1}{2A} - \frac{1}{B} \right) \frac{\mu}{1-\eta^2} \times \right. \right. \\ &\left. \left. \times \cos^2 \Phi_0 \right] \left(\frac{1}{A} - 2 \frac{1}{B} \right) \sin^2 \Phi_0 \right\} \\ &\times \frac{A^2}{B^2} \cos \Phi_0 \Big|. \quad (30) \end{aligned}$$

Используя формулу (30), можно изобразить фазово-угловое распределение интенсивности излучения заряженной частицы для излучения для значения $I_{\text{ин}} = 10^{19} \text{ W/cm}^2$ на фазовой плоскости (вдоль оси абсциссы — $\sin \Phi_0$ и вдоль оси ординаты — $d^2S(\omega)/d\Phi_0 d\Omega$) для различных значений магнитного поля (рис. 4).

Из рис. 4 можно увидеть, что при увеличении магнитного поля максимум спектральной плотности перемещается к значению $\Phi_0 = \pi, -\pi, \dots, \pm n\pi$.

Заключение

Исследован вопрос о спектрально-угловых характеристиках излучения заряженной частицы в поле Редмонда. Получены выражения для интенсивности излучения релятивистского заряда в случае круговой и линейно поляризованной электромагнитной волны в данной конфигурации полей. Получены фазовые и фазо-угловые распределения интенсивности излучения частицы, движущейся в электромагнитной волне с интенсивностью 10^{19} W/cm^2 в присутствии магнитного поля различной величины. Вычислен фурье-образ \mathbf{E} излучения частицы в поле Редмонда с линейно поляризованной электромагнитной волной. Результаты данного исследования могут быть использованы при математической интерпретации экспериментов по взаимодействию лазерного излучения с магнитоплазмой.

Конфликт интересов

Авторы заявляют, что у них нет конфликта интересов.

Список литературы

- [1] Н.С. Акинцов, Г.Ф. Копытов, А.А. Мартынов. Научно-технические ведомости СПбГПУ. Физико-математические науки, **230** (4), 150 (2015). DOI: 10.5862/JPM.230.14
- [2] T. Tajima, J. Dawson. Phys. Rev. Lett., **43** (4), 267 (1979). DOI: 10.1103/PhysRevLett.43.267
- [3] Y. Wu, J. Hua, Z. Zhou, J. Zhang, S. Liu, B. Peng, Y. Fang, X. Ning, Z. Nie, F. Li, C. Zhang, C.-H. Pai, Y. Du, W. Lu, W.B. Mori, C. Joshi. Nat. Phys., **17**, 801 (2021). DOI: 10.1038/s41567-021-01202-6
- [4] L.J. Wong, K.-H. Hong, S. Carbajo, A. Fallahi, P. Piot, M. Soljačić, J.D. Joannopoulos, F.X. Kärtner, I. Kaminer. Sci. Rep., **7** (1), 11159 (2017). DOI: 10.1038/s41598-017-11547-9
- [5] P.M. Woodward, J.D. Lawson. J. Institution of Electrical Engineers — Part III: Radio and Communication Engineering, **95** (37), 363 (1948). DOI: 10.1049/ji-3-2.1948.0094
- [6] P.J. Redmond. J. Math. Phys., **6**, 1163 (1965). DOI: 10.1063/1.1704385
- [7] V.G. Bagrov, V.A. Bordovitsyn. Zh. Vychisl. Mat. Mat. Fiz., **8** (3), 691 (1968). [V.G. Bagrov, V.A. Bordovitsyn, Comput. Math. Math. Phys., **8** (3), 274 (1968) DOI: 10.1016/0041-5553(68)90082-7].
- [8] A. Orefice. II Nuovo Cimento B, **63** (2), 638 (1969). DOI: 10.1007/BF02710713
- [9] E.M. Boldyrev. J. Techn. Phys., **69** (5), 106 (1999).
- [10] V.V. Apollonov, M.V. Fedorov, A.M. Prokhorov, A.G. Suzdal'tsev. IEEE J. Quantum Electronics, **28** (1), 265 (1992). DOI: 10.1109/3.119522
- [11] B.-L. Qian. Physics of Plasmas, **7**, 537 (2000). DOI: 10.1063/1.873839
- [12] A. Dubik. Laser and Particle Beams, **18** (2), 341 (2000). DOI: 10.1017/S0263034600182254
- [13] Г.Ф. Копытов, А.А. Мартынов, Н.С. Акинцов. Научно-технические ведомости СПбГПУ. Физико-математические науки, **206** (4), 55 (2014).

- [14] Г.Ф. Копытов, А.В. Погорелов. Научно-технические ведомости СПбГПУ. Физико-математические науки, **146** (2), 112 (2012).
- [15] V. Zhukovsky. Symmetry, **12** (8), 1367 (2020). DOI: 10.3390/sym12081367
- [16] V.A. Buts, A.G. Zagorodny. Physics of Plasmas, **28** (2), 022311 (2021). DOI: 10.1063/5.0037808
- [17] Yu.A. Bashmakov, D.F. Alferov. J. Technical Physics, **55** (5), 829 (1985).
- [18] A.V. Bashinov, A.A. Gonoskov, A.V. Kim, M. Marklund, G. Mourou, A.M. Sergeev. Quantum Electronics, **43** (4), 291 (2013). DOI: 10.1070/QE2013v043n04ABEH015101